

مقایسه‌ی تجربی و عددی ترمیم اتصال تیر به ستون کناری بتن مسلح با استفاده از الیاف بسپاری (FRP)

اصغر وطنی اسکوبی (استادیار)
دانشکده مهندسی عمران، دانشگاه نوید دجلی

در این نوشتار ترمیم اتصال تیر به ستون کناری آسیب‌دیده از بارهای رفت‌وبرگشتی (همچون زلزله) با استفاده از الیاف بسپاری مورد مطالعه‌ی آزمایشگاهی و عددی قرار گرفته است. بارهای رفت‌وبرگشتی به انتهای تیر نمونه‌ی آزمایشگاهی با مقیاس کامل اعمال شده است. بارگذاری تا رسیدن نمونه به ظرفیت خود، ادامه یافته است، و سپس نمونه با استفاده از الیاف بسپاری ترمیم شده و نمونه‌ی ترمیم شده هجدتاً تحت بارگذاری دوره‌یی قرار گرفته است، برای مطالعات عددی، نمونه‌ی آزمایشگاهی به روش اجزء محدود ساخته شده است. مدل عددی با توجه به مقادیر ثبت شده توسط ابزار اندازه‌گیری تعیین شده بر روی نمونه آزمایشگاهی، اصلاح شده است. برای بررسی تأثیر آرایش الیاف بسپاری پنج مدل غیرخطی با چینیمان متفاوت الیاف تحت بارگذاری شبیه نمونه‌ی آزمایشگاهی قرار داده شده و مورد مطالعه قرار گرفته است. نتایج آزمایش نشان داد که مقاومت و جذب انرژی نمونه‌ی آسیب‌دیده با کاربرد الیاف بسپاری اصلاح شده است، گرچه تغییرات در سختی نمونه‌ی ترمیم شده قبل توجه نیست. همچنین مقایسه‌ی بین ظرفیت نمونه‌های عددی که با آرایش و چینیمان مختلف الیاف بسپاری ترمیم شده‌اند اولته شده است.

voskouei@bhrc.ac.ir

وازگان کلیدی: زلزله، آسیب، اتصال، تیر - ستون، بهسازی، بتن مسلح،
مقادیر سازی، ترمیم، الیاف پلیمری، FRP.

مقدمه

در مطالعه‌ی دیگر، محققین نمونه‌ی را که طبق معیارهای آینه‌های طراحی سازه‌های بتنی سال‌های ۱۹۶۰ ساخته شده بود با الیاف بسپاری تقویت، و مورد آزمایش قرار دادند.^[۱] نتایج این مطالعه نشان داد که استفاده از الیاف باعث افزایش مقاومت برشی ۲۵ درصدی اتصال شد. از سوی دیگر، سه نمونه‌ی آزمایشگاهی ساخته شده بر حسب معیارهای قبل از ۱۹۷۰ که در محل اتصال آن میل‌گرد برشی وجود نداشت با الیاف بسپاری تقویت، و آزمایش شدند.^[۲] نتایج حاصله حاکی از آن بود که ظرفیت تحمل بار نمونه‌ی تقویت شده نسبت به نمونه‌ی شاهد ۵۲٪ افزایش یافته و ظرفیت جذب انرژی نمونه ۶ برابر بیشتر شده است. همچنین، تعداد زیادی نمونه (۱۸ عدد) که مثل نمونه‌های محققین قبلی بدون میل‌گرد برشی مناسب درگره اتصال و بدون سقف بود، با آرایش مختلف الیاف گربنی مورد آزمایش قرار گرفت^[۳] و نشان داده شد که اتصال و آرایش مناسب الیاف باعث افزایش مقاومت برشی گره اتصال به میزان حدود ۳۰٪ و افزایش جذب انرژی حدود ۵۵٪ (در مقایسه با نمونه‌ی شاهد) شده است.

در تحقیقی دیگر، نمونه‌های ساخته شده بر مبنای معیارهای طراحی سال‌های ۱۹۶۰ با مقیاس ۳ مورد آزمایش قرار گرفت.^[۴] ابتدا دو عدد از نمونه‌ها طوری

در سال‌های اخیر استفاده از الیاف بسپاری (FRP) در ساختمان‌های بتن مسلح به منظور بالابردن ظرفیت اجزا و کل سیستم سازه‌یی کاربرد گسترده‌یی یافته است. افزایش ظرفیت عناصر سازه‌یی به علل مختلف نظری افزایش بارهای اعمالی، یا آسیب‌دیدگی عضو بر اثر رخداد زلزله مورد نیاز است. با تولید انبو و ارزان‌شدن الیاف بسپاری (FRP) در کنار بازترین مزایای این مصالح، نسبت مقاومت بالا به وزن و اجرای ساده و سریع آن باعث کاربرد روزافزون این مصالح شده است. استفاده از الیاف بسپاری و روشی نو و جدید نیست، اما استفاده از آن در اتصال تیر به ستون موردی است که کمتر به آن پرداخته شده است.^[۵] تحقیقات انجام‌گرفته بیشتر معطوف اتصالات تیر به ستون بتن مسلحی بوده که بر حسب معیارهای آینه‌های قدمی، که گره اتصال با جزئیات لزومی مناسبی نداشته ساخته شده است.^[۶] محققین دو نمونه از اتصال تیر به ستون کناری را که در محل اتصال آن میل‌گردهای برشی کارگذاشته نشده بود با استفاده از الیاف شیشه‌یی (GFRP) تقویت، و سپس مورد آزمایش قرار دادند.^[۷] نتایج حاصله حاکی از آن بود که علاوه بر افزایش ظرفیت برشی گره اتصال، جایگاه رخداد مفصل خمیری نیز از گره اتصال به تیر تغییر محل داده است.

جدول ۱. مشخصات میلگرد به کار رفته.

$\varepsilon_u(\%)$	$F_u(N/mm^3)$	$F_y(N/mm^3)$	قطر میلگرد (mm)
۰/۱۳	۴۹۸	۴۱۲/۵	۱۸
۰/۱۲۵	۵۰۴	۴۲۶	۱۸
۰/۱۴۲	۴۸۰	۲۸۸	۱۰
۰/۱۴	۴۴۴	۲۷۵	۱۰

جدول ۲. مشخصات مکانیکی نمونه بتن استوانه استاندارد استفاده شده در اتصال.

وزن نمونه (Kg)	نیروی گسیختگی (kN)	مقاومت فشاری (N/mm^3)
۲۴	۴۲۵	۱۲/۵۴
۲۱	۳۷۳	۱۲/۷۷
۲۵	۴۴۵	۱۳/۰۲
۲۶	۴۷۰	۱۲/۸۰

جدول ۳. مشخصات مکانیکی فیبرهای کربنی استفاده شده.

مقاومت کششی (N/mm^3)	کرنش نهایی (%)	ضریب کشسانی	وزن مخصوص (N/mm^3)	ضخامت (mm)	وزن مقاومت (g/m ³)
۴۱۰۰	۰/۰۶۷	۲۳۱۰۰	۲۲۰	۰/۱۲	

مشخصات فولاد به کار رفته

برای تعیین ویژگی‌های میلگرد به کار رفته، آزمایش کشش بر روی نمونه‌های فولاد صورت گرفت که نتایج آزمایش در جدول ۱ داده شده است.

مشخصات مصالح

مشخصات بتن به کار رفته

زمان بتن ریزی نمونه آزمایشگاهی، چهار استوانه با ابعاد $۳۰ \times ۳۰ \times ۱۵$ میلی‌متر (نمونه‌ی استاندارد) که در سه مرحله پر شده بود نیز مورد استفاده قرار گرفت. در روز آزمایش بارگذاری نمونه‌ی اتصال، نمونه‌های استوانه‌ی نیز مورد آزمایش قرار گرفتند (جدول ۲) تا مقاومت بتن استفاده شده نیز به دست آید.

مشخصات الیاف بسپاری مورد استفاده در ترمیم اتصال

آسیب‌دیده

الیاف کربنی مورد استفاده برای ترمیم نمونه آزمایشگاهی از جنس CFRP-Wrap Sika Wrap-Hex230c واز نوع ۳ داده شده است. برای اتصال الیاف کربنی (CFRP) به بتن از رزین با مشخصات داده شده در جدول ۴ استفاده شده است.

انجام آزمایش

طبق معیارهای موجود [۱] در صورتی که مقدار بار محوری اعمال شده بر ستون کمتر از $۰/۱ A_{eff}$ باشد عضو را می‌توان تحت کشش فرض کرد. در آزمایش انجام شده بر ستون اتصال تیره ستون به غیر ازوزن خود اجزاء تشکیل دهنده هیچ نیروی محوری به ستون اعمال نشده است. نیروی محوری از عوامل مؤثر در افزایش مقاومت برشی گره

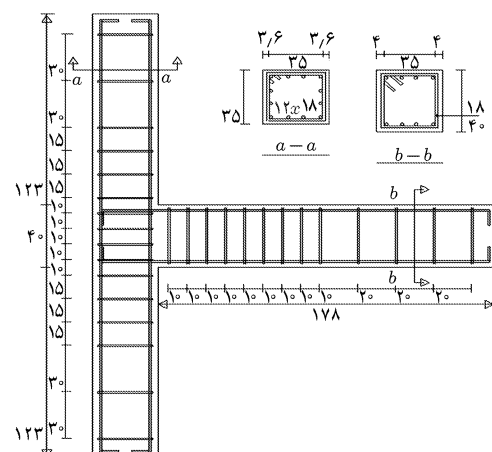
بارگذاری شدند که امکان ترمیم ترک خوردگی‌ها وجود داشته باشد. یکی از نمونه‌ها با الیاف شیشه (GFRP)، و دیگری با الیاف کربن ترمیم شد و مجدداً تحت بارگذاری قرار گرفت. شکل بذری و مقاومت نمونه‌ها به ترتیب حدود ۴۲ و ۵۳ درصد نسبت به نمونه اصلی افزایش داشت. در مدل‌های رایانه‌ی که پیرامون اتصال بن مسلح کناری که دارای معیارهای لرزه‌ی نیست تحقیقاتی صورت گرفته [۱]، استفاده از الیاف بسپاری و آرایش مناسب الیاف در اطراف گره اتصال باعث افزایش ۳۷ درصدی مقاومت نسبت به نمونه مشاهده شده و بیان داشته‌اند که در صورت عدم استفاده از آرایش و اتصال صحیح الیاف جاذبگی الیاف از سطح بتن رخ خواهد داد.

اگرچه بیشتر مطالعات محققین بر روی نمونه‌های اتصال تیره ستونی که جزیبات لرزه‌ی نیست مذاونه صورت گرفته، در این تحقیق نمونه‌ی که بر حسب معیارهای جدید طراحی لرزه‌ی نیست ساختمان‌های بتن مسلح طراحی شده‌اند [۱۰] مورد آزمایش و تحلیل قرار گرفته است. در طراحی با معیارهای آینه‌نامه‌ی جدید فرض می‌شود که سیستم دارای سختی، مقاومت و شکل بذری مناسب است. ترمیم این اتصال بر این باور انتخاب شده است که در معیارهای طراحی لرزه‌ی نیست ساختمان بتن مسلح در حد نهایی، تحت اثر زلزله‌ی با احتمال وقوع ۱۰٪ در طول عمر مفید سازه، (۵۰ سال)، ایجاد ترک و دیگر آسیب‌هایی که امکان ترمیم آن وجود داشته باشد اجازه داده می‌شود.

معرفی مدل آزمایشگاهی

معرفی ابعاد

اتصال تیره ستون دارای ستونی با مقطع $۳۵ \times ۳۵ \times ۳۵$ میلی‌متر و ارتفاع ۲۸۶ میلی‌متر است. سطح مقطع تیر $۴۰ \times ۳۵ \times ۳۵$ میلی‌متر و طول آن ۱۷۸ میلی‌متر است. علت انتخاب طول ستون بر این فرض استوار بوده که نقطه‌ی عطف طبقه، در حدود وسط ستون است. آرماتور طولی تیر و ستون به ترتیب $۸\Phi ۱۸$ و $۱۲\Phi ۱۸$ است. آرماتورگذاری عرضی در کل تیر و ستون به گونه‌ی ایست است که ضوابط آینه‌نامه‌های موجود را برآورده می‌سازد (شکل ۱).



شکل ۱. هندسه‌ی مدل و نحوه‌ی آرماتورگذاری (ابعاد به سانتی‌متر).

جدول ۴. مشخصات رزین استفاده شده.

دما در زمان اجرا (درجه سیلیسیوس)	ضریب انبساط گرمایی	وزن مخصوص kg/l	مقادیر خمشی (N/mm ²)	ضریب الاستیستیه (N/mm ²)	مقادیر کششی (N/mm ²)
۱۰ ~ ۳۰	۵ ~ ۲۰	۱,۶۵	۶۰ ~ ۷۰	۴۳۰۰	۳۰ ~ ۴۰

— طبق معیار آینین نامه — برسد. از همین بارگذاری در مدل‌های تحلیلی نیز استفاده شده است.

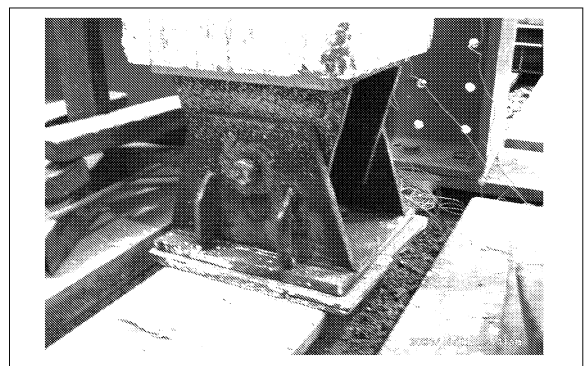
اتصال تیر به ستون در محدوده ارتعاعی است. با وقوع ترک‌خوردگی یا خردشگی در بتن گره اتصال نیزی محوری ممکن است باعث کمانتش میل‌گردیده در ناحیه اتصال شود. با فرض این که نقاط عطف ستون، در وسط ارتفاع طبقه است در آزمایش در ابتدا و انتهای ستون از تکیه‌گاه مفصلی استفاده شده است (شکل ۲).

نمونه‌ی آزمایشی تحت بارگذاری رفت و پرگشتی به وسیله‌ی جک‌های بارگذاری که در پایین و بالا در انتهای تیر داده شده بود انجام گرفت. بار واردی به دو صورت «کنترل نیرو» و «کنترل تغییر مکان» انجام گرفت که روند بارگذاری در نمونه‌ی اصلی به صورت شکل ۳ و در نمونه‌ی ترمیم شده به صورت شکل ۴ ارائه داده شده است. بارگذاری در نمونه‌ی اصلی تا حدی انجام گرفت که نمونه به بیشینه‌ی مقاومت

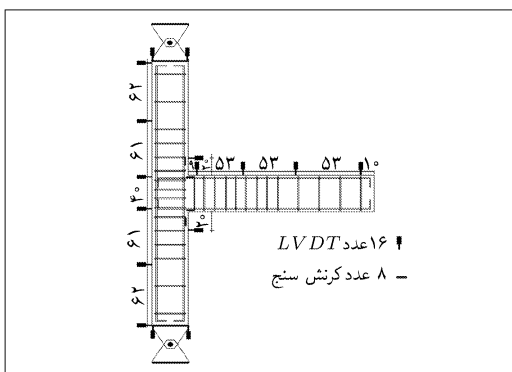
ابزار و تجهیزات اندازه‌گیری و ثبت داده‌ها
برای ثبت داده‌های آزمایشگاهی از دونوع ابزار استفاده شد. برای نمونه‌ی اصلی از LVDT (LVD) با طول مختلف و ۸ عدد کرنش سنج که در میل‌گردی‌های طولی تیر و ستون (ترزیک گره اتصال) در دو وجه نمونه نصب شده بود استفاده شد (شکل ۵). در نمونه‌ی ترمیم شده از ۱۹ عدد کرنش سنج علاوه بر مقادیر فوق برای نصب بر روی الیاف استفاده شده است (شکل ۶). نحوی قرارگیری نمونه و جک‌های بارگذاری بر روی کف قوی در شکل ۷ داده شده است.

بررسی نتایج آزمایش بر روی نمونه اصلی

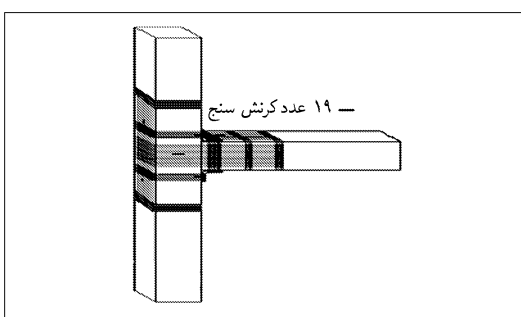
در نمونه‌ی اصلی اولین ترک خوردگی در دوره دوم بارگذاری درباری معادل $15/304 kN$ به وجود آمد. اولین ترک در محل اتصال تیر به ستون رخ داد (شکل ۸). ترک ایجاد شده دارای پهنای کم و به صورت مویی بوده است. این ترک به طرف هسته ای اتصال ادامه



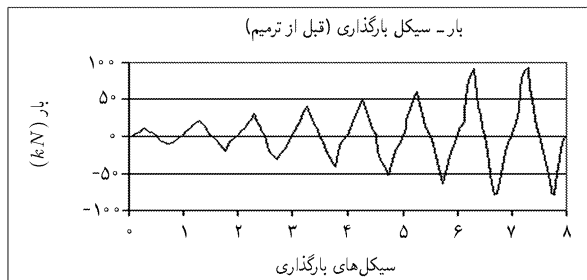
شکل ۲. مفصل دورانی ابتدا و انتهای ستون.



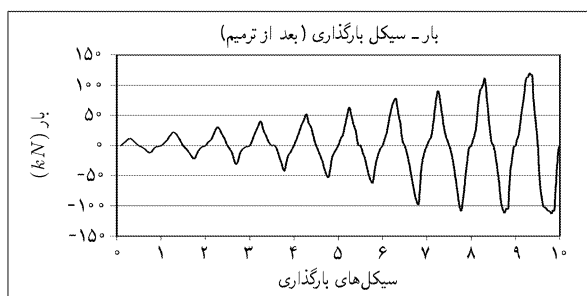
شکل ۵. ابزار و تجهیزات جهت ثبت داده‌ها در نمونه‌ی اصلی.



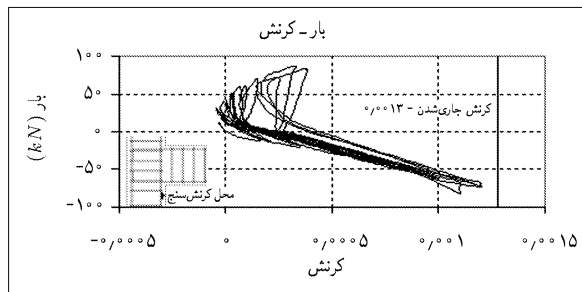
شکل ۶. کرنش سنج‌های نصب شده روی الیاف در نمونه‌ی ترمیمی.



شکل ۳. منحنی بارگذاری در نمونه اصلی.

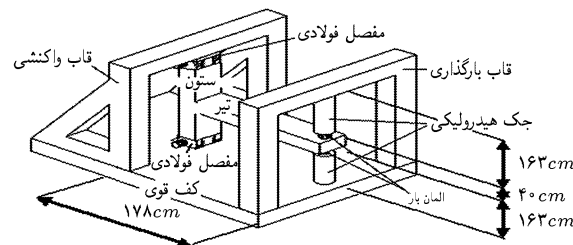


شکل ۴. منحنی بارگذاری در نمونه‌های ترمیم شده.

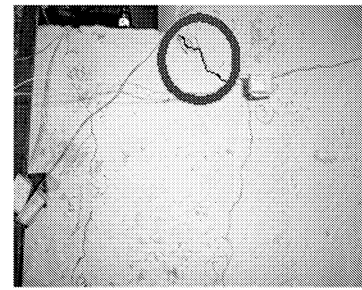


شکل ۱۱. کرنش در میلگرد طولی ستون.

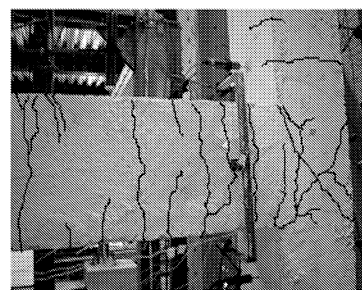
کرنش‌های ایجاد شده در میلگردهای تیر بیانگر این واقعیت است که میلگردها جاری شده‌اند (شکل ۱۰) در صورتی که در میلگردهای طولی ستون کرنش‌ها در محدوده‌ی کشسانی باقی مانده‌اند (شکل ۱۱).



شکل ۷. برقراری روند انجام آزمایش.



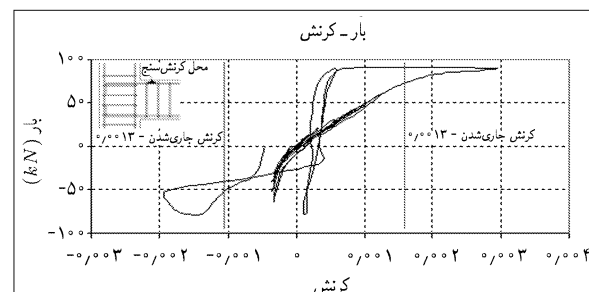
شکل ۸. محل وقوع اولین ترک در نمونه‌ی اصلی.



شکل ۹. وضعیت ترک‌های ایجاد شده در انتهای آزمایش.

ترمیم اتصال آسیب‌دیده
بعد از این که بارگذاری بر روی نمونه به بیشترین مقدار خود رسید (زمانی که منحنی بار-تعییر مکان حالت افقی به خود گرفت) آزمایش قطع، و نسبت به ترمیم نمونه‌ی آسیب‌دیده اقدام شد. در این نمونه برای ترمیم و پرکردن ترک‌های ایجاد شده از تزریق ایوکسی استفاده نشد. گرچه تزریق ایوکسی علاوه بر بالا بردن سختی و مقاومت اتصال باعث می‌شود که پیوستگی بین بتن و میلگرد که براثر ترک‌خوردگی از بین رفته مجددأ برقرار شود. با مطالعه‌ی کرنش‌های ایجاد شده در نمونه مشخص می‌شود که پیوستگی بین بتن و میلگرد تا حدودی از بین رفته است. ترمیم نمونه در گام‌های زیر عملی شد:

۱. گوشهای قسمت‌های آسیب‌دیده تیر و ستون برای جلوگیری از تمرکز تنش گردش (شعاع گردشگی حدود ۲ سانتی‌متر در نظر گرفته شد).
۲. تمامی سطح با استفاده از بادگیری عاری از گرد و غبار شد.
۳. سطح روی ترک‌ها با ایوکسی پوشانده شد.
۴. الیاف کربن با مشخصات داده شده در جدول ۳ به اندازه‌ی لازم بریده شد.
۵. سطح بتن از وزین با مشخصات داده شده در جدول ۴ مالیده شد.
۶. الیاف بریده شده به سطح زین آغشته و چسبانده شد. در این مرحله باید نسبت به تهییلات شرکت‌های تولیدکننده رزین و فاصله‌ی زمانی لازم بین مالیدن ایوکسی و چسباندن الیاف بسیاری FRP دقت کرد. برای جلوگیری از کم‌انداختی ورق‌های بالا و پایین و همچنین جلوگیری از ترک‌های قطری و بالا بردن ظرفیت برشی اتصال از دو عدد دوربیج با پهنای ۵ سانتی‌متر استفاده شد (شکل ۱۶).
مقدار الیاف و طراحی نمونه‌ی ترمیم شده در کار انجام شده توسط نگارنده تعیین و اوله شده است.^[۱۶]
۷. با استفاده از غلتک دستی و غلتاندن آن با فشار بر روی الیاف سعی شد تمامی الیاف به زین آغشته شود.
۸. برای انتقال نیرو از الیاف موجود بر وجود تیر به ستون از دو عدد نشی ۱۰ × ۱۰۰ میلی‌متری در قسمت بالا و پایین اتصال تیر به ستون استفاده شده است. برای این که تیزی گوشه‌های نیشی باعث بریده شدن الیاف بسیاری نشود در انتهای آن یک‌چهارم لوله‌ی فولادی با قطر ۲۵ سانتی‌متر



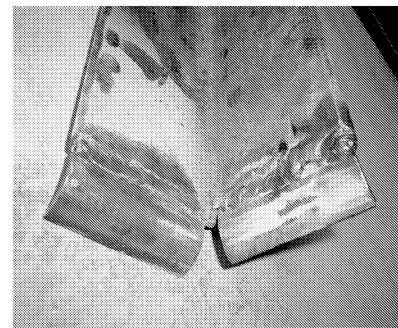
شکل ۱۵. کرنش در میلگرد طولی بالایی تیر.

پیدا کرد. وضعیت ترک‌خوردگی نمونه در انتهای بارگذاری در شکل ۹ داده شده است.

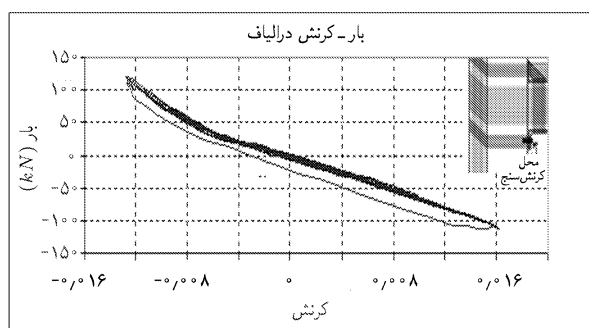
با توجه به معیار آینه‌نامه‌ی و ابعاد تیر، بیشینه‌باری که می‌توان به انتهای تیر اعمال کرد ۶۲/۳ کیلونیوتون است، اما در این نمونه در حالت رو به پایین بیشینه بار اعمالی ۹۲/۴۸ کیلونیوتون و تعییر مکان انتهای تیر به پایین بیشینه بار حالت رو به بالا ۷۸/۳۷ کیلونیوتون و تعییر مکان انتهای تیر ۱۱۰/۵۰ mm بوده است و در شده است.



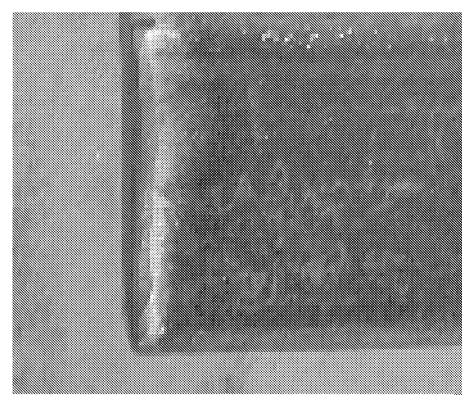
شکل ۱۴. پاره شدن الیاف بر اثر تیزی نبشی.



شکل ۱۲. جوش یک‌چهارم لوله در انتهای نبشی.



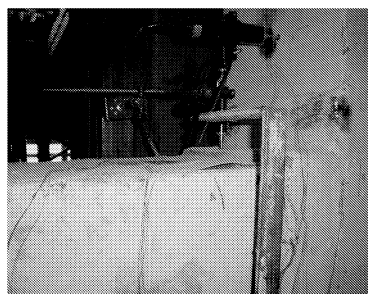
شکل ۱۵. کرنش ایجاد شده در الیاف قسمت تیزی نبشی.



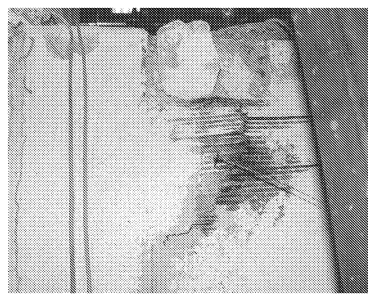
شکل ۱۳. پیچ کردن یک انتهای نبشی به جای جوش یک‌چهارم لوله.

مقایسه‌های نتایج در نمونه‌ی اصلی و نمونه‌ی ترمیمی
نتایج ثبت شده‌ی حاصل از آزمایش در نمونه‌ی اصلی که هنوز عملیات ترمیم بر روی آن صورت نگرفته حاکمی از آن است که تحت بار ۹۲/۴۸ کیلوتون (جهت مثبت)، تغییر

جوش داده شده است (شکل ۱۲). فقط در یکی از گوشها از لوله استفاده نشده و به جای آن با پیچ کردن سعی در کاهش تیزی گوش شده است (شکل ۱۳). آن قسمت از نبشی که در انتهای آن یک‌چهارم لوله فولادی کارگذاشته نشده در قسمت پایین تیر و در سمت راست قرار داده شد.



شکل ۱۶. جدا شدگی و کمانش در ورقه‌های CFRP.



شکل ۱۷. عدم کارکرد یکپارچه‌ی الیاف به علت آغشته نشدن مناسب.

آسیب‌های ایجاد شده در نمونه‌ی ترمیمی

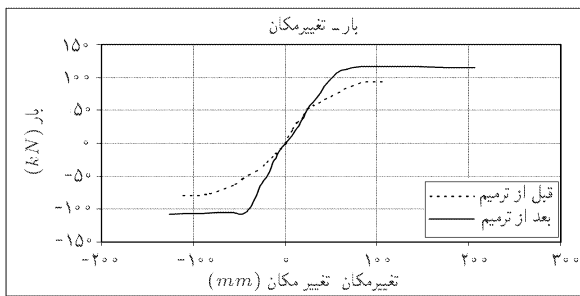
۱. در قسمتی از نبشی که از پیچ استفاده شده است به علت تیزی گوش در الیاف بسیاری پارگی ایجاد شد. این مورد با توجه به مقدار کرنش قراتست شده از کرنش سنج نصب شده بر روی الیاف در محل تیزی گوشی نبشی نیز مشخص است (شکل ۱۴ و ۱۵).

۲. بر اثر بارهای دوره‌بی، قسمت بالایی و پایینی تیر تحت تأثیر نیروهای فشاری و کششی قرار خواهد گرفت. زمانی که CFRP تحت تنشی‌های فشاری قرار می‌گیرد باعث می‌شود که لایه‌ی بسیاری به علت وقوع کمانش از سطح متن کنده شود (شکل ۱۶). برای این منظور لازم است در فاصله‌های کمتری به موسیله‌ی عناصر مکانیکی یا نزدیک کردن فاصله نوارهای دور پیچ، طول مؤثر لایه CFRP را کم کرد.

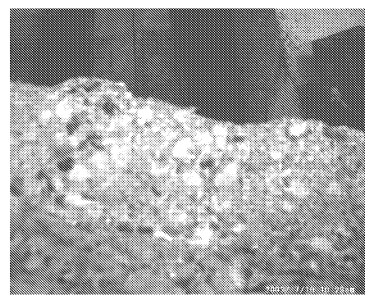
۳. آغشته نشدن مناسب الیاف و یکپارچه کار نکردن الیاف و پاره شدن تک‌تک الیاف (شکل ۱۷).

۴. از بین رفتن پوستگی میان سنگدانه و سیمان که در قسمت پوشش عناصر بتی وجود دارد باعث کنده شدن قسمتی از بین همراه با CFRP می‌شود (شکل ۱۸).

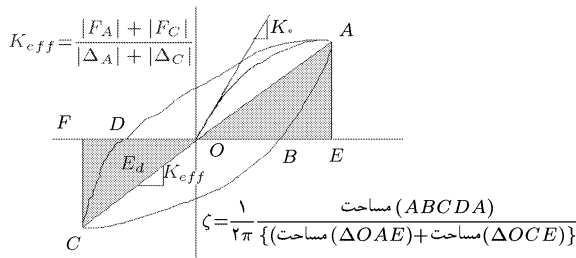
۵. پاره شدن CFRP به علت تلاش‌های برشی و کششی ناشی از خمش (شکل ۱۹).



شکل ۲۰. رابطه بار- تغییر مکان در نمونه ای اصلی و ترمیم شده آزمایشگاهی.



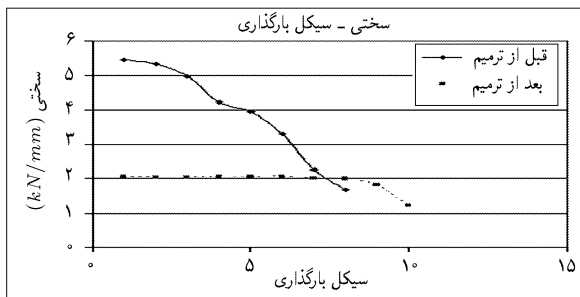
شکل ۱۸. آسیب دیدگی ناشی از بین رفتن پیوستگی بین سنگ دانه و سیمان.



شکل ۲۱. پارامترهای مقایسه‌یی.



شکل ۱۹. پارگی ناشی از برش و خمش در ورقه‌های CFRP.



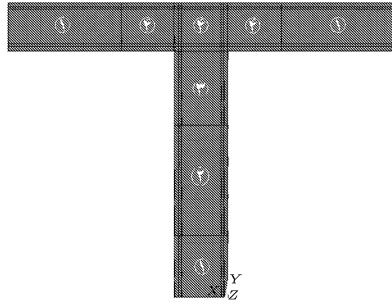
شکل ۲۲. مقایسه سختی اولیه در نمونه ای اصلی و ترمیمی.

۲,۲۶۳۹۶ kN/mm^2 است. بنابراین سختی مؤثر نمونه ترمیم شده در گام اول $5,۳۴۲۳۴$ برابر نمونه ای اصلی است و همانگونه که در شکل ها نیز مشخص است در دوره های بارگذاری مقادیر سختی نمونه ترمیم شده تقریباً ثابت است مگر در گام آخر، که در نمونه گسیختگی به وجود می آید. ولی در نمونه ای اصلی مقادیر سختی در دوره های بارگذاری دارای یک سیر نزولی است. سختی مؤثر در نمونه ای اصلی دارای مقادیر کمتری نسبت به سختی نمونه اولیه است در صورتی که سختی مؤثر در نمونه ترمیم بافته بیشتر از سختی نمونه است. همچنین نسبت میری (δ) نمونه ها که در شکل ۲۱ معرفی شد بین نمونه ها مقایسه شده است (شکل ۲۴). فرمول ارائه شده در این توشا را برای فرمول های اول ارائه شده در تحقیقات انجام شده قبلي^[۱] متفاوت است. در تحقیقات یاد شده فقط مثالث بالایی در نظر گرفته شده است و مثلاً OAE مبنای قرارداده شده است. همچنین برای بدست آوردن میرلی، چهار برابر مثالث فوق در مخرج محاسبه شده است. در آنجا فرض براین است که دو مثالث OAE و OCF با هم دیگر مساوی اند. با توجه به آزمایش صورت گرفته بر روی عناصر بتی عملکرد متفاوت تحت بارهای رفت و برگشتی دو مثالث OAE و OCF در نظر گرفته شده است که به نظر می رسد جواب های معقولاتری ارائه دهد. در نمونه ترک خورده در گام اول، مقادیر ضریب میرلی $۰,۴۴$ % بدست آمده است.

مکان ایجاد شده در قسمت انتهای تیر $۷۸/۳۷\text{ mm}$ و تحت بار $۱۱۰/۵\text{ kN}$ (جهت منفی)، تغییر مکان ایجاد شده در قسمت انتهای تیر $۱۱۴/۳۳\text{ mm}$ بوده است. بعد از آن مقادیر منحنی بار- تغییر مکان تقریباً یک خط افقی را طی کرده و اصطلاحاً نمونه به بیشترین مقاومت خود رسیده است. در صورتی که در نمونه ترمیم شده که در شکل ۲۰ ارائه شده است در جهت بارگذاری رو به سمت پایین بیشینه نیروی که نمونه تحمل می کند $۱۱۵/۲۶\text{ kN}$ و تغییر مکان ایجاد شده بیشینه نیروی $۲۰۶,۵\text{ mm}$ و زمانی که نیرو به سمت بالا باشد تحت بار $۱۰۸/۴۶\text{ kN}$ تغییر مکان $۱۲۶,۰۷\text{ mm}$ ثبت شده است. در مقایسه دو نمونه (آسیب دیده و ترمیم شده) در جهت مثبت، بار $۱/۲۴۶$ برابر زیادتر شده است در صورتی که در راستای منفی مقدار نیروی اضافه شده $۱/۳۸۴$ است. تغییر مکان ها به ترتیب $۱/۸۷۶$ و $۱/۱۰۳$ برابر بیشتر شده است.

در این قسمت، با تجزیه و تحلیل پارامترهای مؤثر بر عملکرد اتصال، مقایسه های لازم صورت خواهد گرفت. در شکل ۲۱ تعریف پارامترها نشان داده شده است. در مقایسه بین سختی های اتصال (شبی ابتدای بارگذاری K) در شکل ۲۱ قبل از ترک خوردنگی و بعد از ترک خوردنگی، سختی اتصال در دوره ای اول بارگذاری در نمونه ای اولیه (قبل از ترک خوردنگی) $۴۵۲۸ kN/mm^2$ و در نمونه ترمیم شده (بعد از ترک خوردنگی) $۲۴ kN/mm^2$ به دست آمده است (شکل ۲۲). این نتایج بیانگر این واقعیت است که در گام اول بارگذاری و در نمونه ترمیم شده سختی اولیه نسبت به نمونه ای اصلی به اندازه $۳۷/۵$ کاهش یافته است. در تمام گام های بارگذاری سختی نمونه ترمیم شده از سختی نمونه ای اصلی کمتر بوده است مگر در گام آخر (دوره ای ۸) که سختی نمونه ترمیم شده بیشتر از سختی نمونه ای اصلی است (شکل ۲۲).

بعضی در طراحی سیستم و عناصر سازه ای به جای استفاده از سختی اولیه، سختی سکاتی یا سختی مؤثر (K_{eff}) در شکل ۲۱ استفاده می شود. در مقایسه بین سختی مؤثر در هر دو حالت (شکل ۲۳) مشاهده می شود که مقادیر سختی در نمونه ای اصلی و بدون ترک خوردنگی $۴,۲۳۷۷۶۷ kN/mm^2$ و در نمونه ترمیم شده

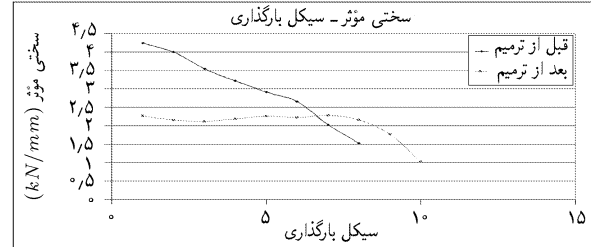


شکل ۲۶. قطعه‌بندی نمونه با توجه به ترک‌های ایجاد شده.

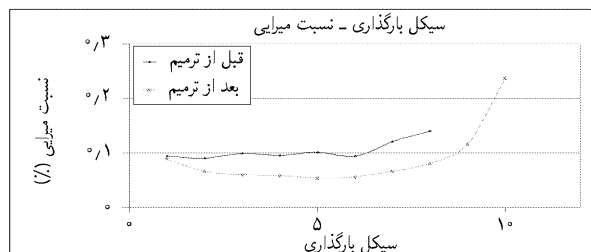
با استفاده از کاهش سختی سیستم، نمونه‌ی آسیب‌دیده مدل‌سازی شد. برای این منظور با توجه به مقدار ترک و آسیب ایجادشده در اتصال تیر به ستون، نمونه به هشت ناحیه تقسیم (شکل ۲۶)، و در این نواحی مشخصات مختلفی برای فولاد و بتن در مدل تعريف شده است. با سعی و خطاهای فراوان در انتخاب مقادیر و پارامترهای مکانیکی، سعی بر آن است که مدلی شبیه مدل آزمایشگاهی ساخته شود. با توجه به مقدار ترک خوردگی و پهنای ترک، و با مقایسه مقادیر شسته شده توسط ادوات نصبشده بر نمونه‌ی آزمایشگاهی، هشت ناحیه‌ی تقسیم‌مندی شده از لحاظ مقادیر مختلف ضریب کشسانی، ضریب پواسون، مقاومت نهایی کششی و فشاری به چهار ناحیه محدود شد. مشخصات مکانیکی برای نواحی مختلف در جدول ۵ ارائه شده است.

مدل رایانه‌ی ساخته شده از اتصال مذکور که بیان‌گر نمونه‌ی آسیب‌دیده است به وسیله‌ی الیاف کربنی، با آرایش مدل آزمایشگاهی، و با همان مشخصات مکانیکی تحت بارهای رفت‌وپرگشتی قرار گرفت. نتایج حاصل از تحلیل رایانه‌ی با نتایج آزمایشگاهی مقایسه شد و بعد از کالیبره کردن نتایج حاصل از نرم‌افزار، با حذف تدریجی لایه‌های الیاف به بررسی میراث تأثیر این لایه‌ها بر عملکرد ترمیم اتصال می‌پردازیم. شکل ۲۷ نشان‌دهنده محل، ابعاد و تعداد لایه‌های الیاف کربنی بر نمونه‌ی ابتدا آسیب‌دیده است. به‌منظور قراردادن فولاد طولی به صورت جسمی در محل‌های موردنظر، از ۱۷۶ حجم برای نمونه استفاده شده است. برای مدل‌کردن نمونه‌ی اول رایانه‌ی، از ۱۱۶ حجم برای مدل‌کردن لایه‌های CFRP استفاده شده است. فولادهای عرضی در مدل انتخاب‌شده برای بتن (Solid 65) به صورت درصدی از حجم بتن ارائه شده است. در نمونه‌های رایانه‌ی، بین سطح بتن و ورق‌های CFRP پیوستگی کامل وجود دارد. برای مدل‌کردن الیاف کربنی از المان Solid 45 استفاده شد.

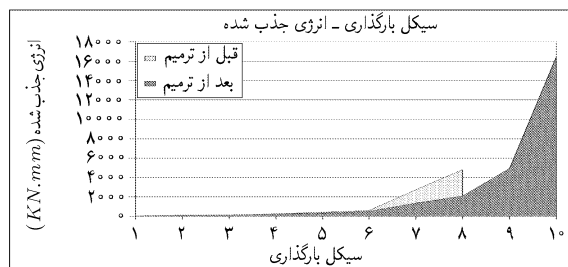
نمونه‌ی تحلیلی ایجادشده تحت بارگذاری شبیه به بارگذاری نمونه‌ی آزمایشگاهی قرار گرفت. برای جلوگیری از تمرکز تنش، بارگذاری در انتهای تیر بر روی گره ۸۸ درآمد. منحنی بارگذاری مکان نمونه‌ی رایانه‌ی و آزمایشگاهی در شکل ۲۸ اعمال شده است. تحت بار اعمال شده در جهت مثبت بعد از دوره‌ی نهم و تحت داده شده است. تحت بار اعمال شده در جهت مثبت بعد از دوره‌ی دهم، بین دو مدل جذاشده با الیاف کربنی بارگذاری رو به بالا در دوره‌ی دهم، بین دو مدل جذاشده با الیاف کربنی رایانه‌ی نیز، با ایجاد ترک در تیر و در خارج از محدوده‌ی ترمیم‌شده با الیاف کربنی آسیب ایجاد می‌شود؛ اگرچه در نمونه‌ی آزمایشگاهی علاوه بر مورد فوق آسیب‌های دیگری نیز به وجود آمده است که در مدل رایانه‌ی به عملت بعضی فرضیات به وجود نیامد. در نمونه‌ی رایانه‌ی با توجه به موقعه به وقوع ترک و شد آن در ارتفاع تیر و کاهش سختی عضو به صفر، از تقسیم عدد بر صفر مقدار بی نهایت به دست می‌آید که باعث متوقف شدن برنامه‌ی رایانه‌ی می‌شود. در ویند تحلیل، زمانی که در یک المان ترک خوردگی یا خردشده باشد، مدول کشسانی در راستای ترک خورد (و در



شکل ۲۳. مقایسه سختی موثر در نمونه‌ی اصلی و ترمیمی.



شکل ۲۴. مقایسه میرایی در نمونه‌های اصلی و ترمیمی.



شکل ۲۵. مقایسه جذب ارزی در نمونه‌های اصلی و ترمیمی.

اما در نمونه‌ی آسیب‌دیده این مقدار معادل ۵٪ است. در گام آخر، در نمونه‌ی اولیه ۱۵٪ و در نمونه‌ی ترمیمی ۲۳٪ ثبت و محاسبه شده است. در تمام گام‌های بارگذاری به جزگام نهایی ضریب میرایی نمونه‌ی اصلی بیشتر از نمونه‌ی ترمیمی است (شکل ۲۴). در مقایسه‌ی مقدار ارزی جذب شده در نمونه‌ها (شکل ۲۵)، مقدار ارزی جذب شده در گام اول، در نمونه‌ی اولیه (ترک‌خوردده) ۱۴,۵۳۷ kN.mm و در نمونه‌ی ترمیمی ۴۳,۴۵۲ است که حدود ۲۹٪ بر این نمونه‌ی اولیه است. بیشینه مقدار ارزی جذب شده در نمونه‌ی ترمیم‌شده ۴۸,۴۷ kN.mm در گام هشتم و در نمونه‌ی ترمیم‌شده مقدار ارزی جذب شده در گام آخر ۱۶,۴۳۵,۱۵ kN.mm به ۲۰,۹۲,۹۵ kN.mm دست آمده است. گرچه در گام هشتم مقدار ارزی جذب شده در نمونه‌ی ترمیم‌شده بیشتر از نمونه‌ی اصلی است.

بررسی نمونه‌های تحلیلی

با توجه به مشکلات انجام آزمایش، برای پی‌بردن به آثار آرایش مختلف الیاف بر رفتار اتصال تیر به ستون سعی شده است با استفاده از نرم‌افزارهای موجود، و با استفاده از تحلیل اجزایی محدود پارامترهای مختلف مورد بررسی و تجزیه و تحلیل قرار گیرد. در این قسمت مدل اجزایی محدود اتصال تیر-ستون کناری بنتی که در قسمت قبل مورد آزمایش قرار گرفت تهیه شد. با توجه به این که در نرم‌افزار استفاده شده برای مدل‌کردن ترک‌های ایجادشده و جاری شدن فولاد امکاناتی موجود نیست، لذا

جدول ۵. مشخصات مصالح بکار رفته در نواحی مختلف نمونه‌های ترمیمی.

بن						فلز				شماره نواحی بعد از جاری شدن (Mpa)
مقاومت فشاری (Mpa)	مقاومت کشسانی (Mpa)	وزن مخصوص (Kg/cm ³)	ضریب پواسون نهایی (Mpa)	مودل کشسانی	مودل نهایی	مقاومت نهایی	ضریب پواسون	ضریب (Mpa)		
۲۵۰۰۰	۲۵	۴	۰,۲۲	۲۵۰۰	۲۱۰۰۰	۴۲۰	۰,۳	۴۲۰۰۰	ناحیه ۱	
۹۰۰۰	۲۵	۴	۰,۲۲	۲۵۰۰	۱۳۵۰۰	۳۵۰	۰,۳	۳۰۰۰۰	ناحیه ۲	
۱۲۵۰	۱۲,۵	۱,۵	۰,۲۲	۲۵۰۰	۳۰۰۰	۱۵۰	۰,۳	۸۰۰۰	ناحیه ۳	
۴۰۰۰	۲۰	۲,۵	۰,۲۲	۲۵۰۰	۹۵۰۰	۴۰۰	۰,۳	۳۰۰۰۰	ناحیه ۴	

جدول ۶. مقایسه‌ی مقادیر بار- تغییر مکان مدل‌های تحلیلی.

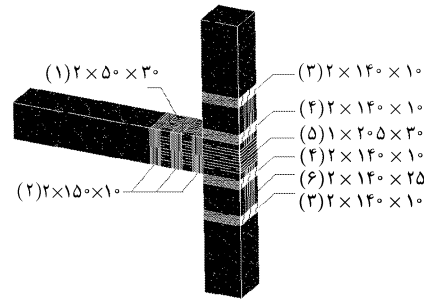
بیشینه‌ی تغییر مکان (mm)	بار متتحمل (kN)	نمونه
رو به پایین	رو به بالا	ترمیم شده
-۷۱,۸۲	۶۵,۴۱	-۱۰۰۰
-۴۹,۴۸	۵۲,۲۳	-۸۰۰
-۴۰,۹۳	۴۳,۰۸	-۷۰۰
-۴۴,۸۷	۴۸,۱۴	-۷۰۰
-۱۵,۳۶	-۲۲,۸۷	-۳۰۰
		۴۰۰
		نمونه پنجم

نمونه‌های اول، دوم و سوم متوجه می‌شویم که با وجود کاستن از لایه‌های الیاف کربنی در دو نمونه اخیر، سختی اولیه‌ی نمونه‌ها نسبت به نمونه اول تغییر چندانی نداشته است. این در حالی است که بار مقاومت نهایی نمونه‌ها کاهش یافته و میزان این کاهش در مدل سوم (یعنی مدلی که دوربین‌های سوتون در آن حذف شده است) بیشتر بود تا در نمونه دوم که دولایه‌ی الیاف کربنی نواریست سوتون را نداشت. در جدول ۶ مقایسه‌ی بین بیشینه‌ی نیروها و تغییر مکان‌های متتحمل از طرف نمونه‌های ترمیم شده را نیز ارائه شده است.

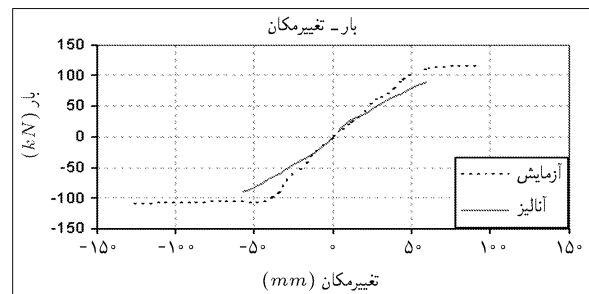
دوربین‌های سوتون (نمونه دوم) تأثیر بیشتری بر عملکرد کلی اتصال نسبت به لایه‌های پشت سوتون (نمونه سوم) دارند. نکته قابل ذکر دیگر این که علی‌رغم کم کردن مقدار الیاف کربنی، کاهشی در سختی اولیه مدل ایجاد نشد؛ اگرچه میزان تأثیر در بار مقاومت نهایی اتصال تغییر اندکی داشته است.

با حذف دوربین‌های قرار داده شده در بالا و پایین سوتون (نمونه سوم)، به جای تیر در سوتون آسیب ایجاد شده است. این موضوع نیز بر تأثیر مثبت این دوربین‌ها روی عملکرد کل سیستم صحه می‌گذارد. اگر در نمونه دوم نیز شکست در سوتون رخ داد می‌توان علت آن را عدم استفاده از الیاف کربنی در پیش سوتون ذکر کرد. در نمونه چهارم با حذف الیاف کربنی روش ترمیم یافته، بعد از گام بارگذاری هشتم نمونه چهارم در انتها تیر با تغییر مکان‌های بیشتری نسبت به نمونه اول ترمیم یافته به وجود آمد. همچنین اختلاف این دو نمونه در محل گسیختگی اتصال بود؛ گسیختگی در نمونه اول بین تیر و محلی که یوشش الیاف کربنی روی تیر ادامه نیافته به وجود آمد، در حالی که در نمونه چهارم با حذف الیاف کربنی روی هسته اتصال، شکست از تیر به هسته ای اتصال انتقال پیدا کرده و گسیختگی اتصال از محل هسته اتصال به وجود آمد که علت تأثیر الیاف کربنی در سوتون برازیل ایش ترمیم یافته است.

در نمونه پنجم ترمیم یافته که فقط در تیر و در محل رخداد مفصل خمیری با الیاف کربنی و دوربین ترمیم یافته، سختی بهشدت کاهش یافته و نمونه بهشدت در گام بارگذاری هفتم آسیب دیده است. در نمونه پنجم قبل از وقوع شکست در هسته ای اتصال، در محل اتصال تیر به سوتون شکست رخ داد.



شکل ۲۷. نحوه قرارگیری و ابعاد ورق‌های FRP در نمونه اول که شبیه نمونه آزمایشگاهی است.



شکل ۲۸. مقایسه‌ی رابطه‌ی بار- تغییر مکان نمونه‌ی ترمیمی رایانه‌یی و آزمایشگاهی.

سه راستا برای المان خردشده صفر منظور می‌شود. در ترمیز افزار یادشده برای بررسی رفتار چندمحوره‌ی بتن، معیار ویلیام - وارنک به کار برده شده است.

بعد از نمونه اولیه‌ی رایانه‌یی، چهار نمونه‌ی رایانه‌یی دیگر با آریش الیاف بسیاری متفاوت ساخته شد که عبارت اند از:

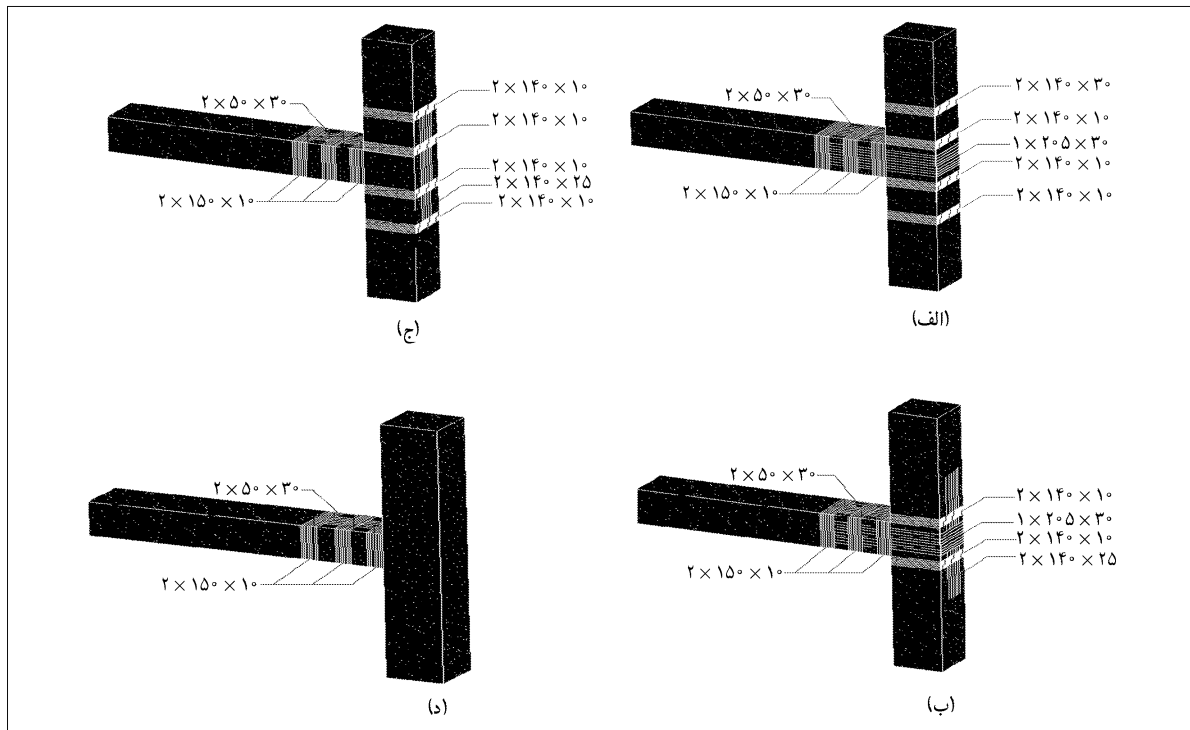
نمونه‌ی دوم: فقط الیاف قرار داده شده در پیش سوتون نسبت به نمونه‌ی آزمایشگاهی حذف شد (شکل ۲۹(الف)).

نمونه‌ی سوم: الیاف نواری قرار داده شده در سوتون بالایی و پایینی نسبت به نمونه‌ی آزمایشگاهی حذف شد (شکل ۲۹(ب)).

نمونه‌ی چهارم: الیاف اطراف تیر که گره اتصال را نیز دور می‌زنند نسبت به نمونه‌ی آزمایشگاهی حذف شد (شکل ۲۹(ج)).

نمونه‌ی پنجم: الیاف سوتون نسبت به نمونه‌ی آزمایشگاهی حذف شد و فقط الیاف تیر باقی ماند (شکل ۲۹(د)).

مقایسه‌ی نتایج تحلیلی بار- تغییر مکان نمونه‌های مختلف در شکل ۳۰ داده شده است. با مقایسه‌ی مختصات بیشینه‌ی نیرو- جایه‌جایی در دوره‌های بارگذاری



شکل ۲۹. آریش متغیر الیاف در نمونه‌های ترمیمی رایانه‌بی.

۴. استفاده از الیاف کربنی به منظور ترمیم باعث تغییر محل وقوع مفصل خمیری از گره اتصال به سمت ایجاد در تیر می‌شود، و بنابراین افزایش شکل پذیری سیستم را بدنبال خواهد داشت.

۵. با استفاده از الیاف کربنی می‌توان از شکست ترد برشی سیستم جلوگیری کرد.

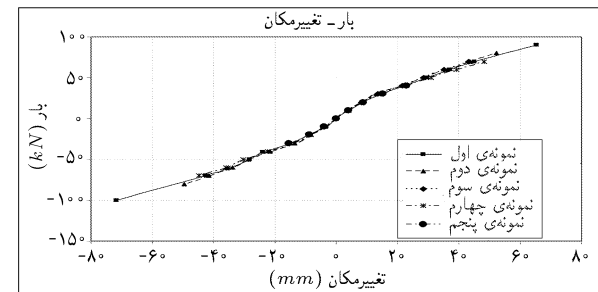
۶. آریش و چیدمان الیاف در گره اتصال نه تنها باعث تغییر در مقدار سختی سیستم، بلکه باعث افزایش مقاومت سیستم می‌شود. استفاده از الیاف کربنی در تیر بدون ترمیم گره اتصال و ستون عملکرد مناسبی نخواهد داشت، گرچه در نمونه‌ی آزمایشگاهی و نمونه‌های عددی آسیبی در الیاف کربنی استفاده شده در محل اتصال و ستون به وجود نیامده، ترمیم این قسمت‌ها به علت افزایش مقاومت برشی گره اتصال تأثیر به سریعی در رفتار اتصال دارد.

۷. ترمیم ستون و هسته اتصال باعث جلوگیری از ایجاد مفصل خمیری در این نواحی و کاهش تغییر مکان انتهای تیر می‌شود.

۸. نمونه‌ی ترمیم شده توسط الیاف عملکرد تقریباً خطی تا حد نهایی داشته و سپس عملکرد کاملاً خمیری داشته است و منحنی بار-تغییر مکان شبیه خط افقی است.

تشکر و قدردانی

این نوشتار قسمتی از پژوهه، تحقیقاتی «راهکارهای ترمیم ساختمان‌های بتن مسلح آسیب‌دیده از زلزله» می‌باشد که در مرکز تحقیقات ساختمان و مسکن انجام شده است. بدینوسیله از اعضای بخش، آزمایشگاه ساز، و دوستانی که در انجام آزمایش کمک نموده‌اند و همچنین از جانب آقای دکتر تسینی و سرکار خانم دکتر پرهیزگار به خاطر راهنمایی و حمایت‌هایشان تقدیر و تشکر می‌شود.



شکل ۳۰. مقایسه‌ی بیشینه‌ی مقدار بار-تغییر مکان نمونه‌های تحلیلی.

نتیجه‌گیری

استفاده از الیاف سپاری به علت سهولت در اجراء، بدون بزرگ‌کردن ابعاد گره اتصال، می‌تواند با تسريع اجرا مشکلات دیگر روش‌های ترمیم اتصال تیر به ستون را در بن مسلح برطرف سازد.

۱. در بیشتر تحقیقات انجام‌گرفته، سختی نمونه‌ی ترک‌خورده $\approx 32\%$ سختی نمونه‌ی اصلی^[۱۲]، یا بین 30% الی 55% سختی نمونه‌ی اصلی^[۱۳] ذکر شده است. در این نمونه نسبت سختی ترک‌خورده به نمونه‌ی اصلی $\approx 30\%$ ($K_{last}/K_{first} = 0.308$) به دست آمده که در بین مقادیر موجود معتبر بوده است.

۲. استفاده از الیاف کربنی باعث تغییرات کمی در سختی نمونه‌ی اتصال ترمیم یافته ایجاد کرده است. این مقدار $1/23$ برابر سختی آخرین گام نمونه‌ی اصلی است. گرچه این مقدار در سختی مؤثر $1/48$ برابر آخرین گام بارگذاری بوده است.

۳. تأثیر الیاف بر مقاومت، جذب انرژی و شکل پذیری گره اتصال زیاد است.

منابع

1. Office of Critical Infrastructure Protection and Emergency Preparedness, "Seismic hazard, building codes and mitigation options for canadian buildings", Government of Canada (2001).
2. Engindeniz, M.; Kahn, L.F. and Zureich, A. "Repair and strengthening of reinforced concrete beam-column joints: state of the art", *ACI Journal*, (2) (2005).
3. Ghobareh, A. and Said, A., "Seismic rehabilitation of beam-column joints using FRP laminates", *Journal of Earthquake Engineering*, 5(1), (2001).
4. Pantelides, C.P.; Clyde, C. and Reaveley, L.D., "Rehabilitation of R/C building joints with FRP composites", 12WCEE, New Zeland (2000).
5. El-Amoury T. and Ghobarah A., "Seismic rehabilitation of beam-column joints using CFRP sheets", *Engineering Structure*, 24 (2002).
6. Antonopoulos, C.P. and Triantafillou, T.C., "Experimental investigation of FRP-strengthened RC beam-column joints", *Journal of Composites for Construction*, (2003).
7. Mosallam, A.S., "Strength and ductility of reinforced concrete moment frame connections strengthened with quasi-isotropic laminates", *Composites: Part B31* (2000).
8. Parvin, A., Granta, P., "Investigation on the effects of fiber composites at concrete joints", *Composites: Part B31*, (2000).
9. ABA. "Iranian concrete code", first revision, Tehran, (2000).
10. ACI-Committee 318, "Building code requirement for structural concrete (ACI 318)", Michigan, USA, (1995).
11. Vatani Oskoue, A. "Guidelines for repairing reinforced concrete structures damaged by earthquake (with emphasize on exterior beam-column connection)", Bulding and Housing Research Center, (2006).
12. Chopra, K.A. "Dynamic of structure", Prentice-Hall, Inc., Englewood Cliffs, New Jersey 07632, ISBN 0-13-855214-2, (1995).
13. NZS. "Design of concrete structures", NZS 3101:1995, Standards Association of New Zealand, Wellington, New Zealand (1995).
14. Paulay, T., and Priestley, M.J.N. "Seismic design of reinforced concrete and masonry buildings", New York, John Wiley & Sons, (1992).